

А. И. КОМКОВ

ЗАВИСИМОСТЬ РЕНТГЕНОВСКИХ КОНСТАНТ КОЛУМБИТОВ  
ОТ ИХ СОСТАВА

(Представлено академиком И. В. Беловым 28 X 1969)

Колумбиты — минералы переменного состава, объединяющиеся общей формулой  $(\text{Fe}, \text{Mn})(\text{Nb}, \text{Ta})_2\text{O}_6$ , и для них в литературе имеется большое количество рентгеновских данных. Однако в настоящее время по этим данным невозможно отличить друг от друга колумбиты различного состава, и некоторые авторы (<sup>1</sup>, <sup>2</sup>) даже приходят к выводу, что в колумбитах не существует соответствия между рентгеновскими константами и соотношениями минералообразующих элементов (Fe, Mn, Nb и Ta). Изменчивость дифракционных картин колумбита объясняется по-разному: либо возможным вхождением в их состав второстепенных изоморфных примесей (Sn, W, Y, Ti) (<sup>1</sup>), либо возможными различными условиями их образования (<sup>2</sup>) или вхождением в колумбиты  $\text{Fe}^{3+}$  и  $\text{Mn}^{3+}$  наряду с  $\text{Fe}^{2+}$  и  $\text{Mn}^{2+}$  (<sup>2</sup>).

Таблица 1

Рентгеновские константы соединений ряда  $\text{FeNb}_2\text{O}_6 - \text{MnNb}_2\text{O}_6 - \text{MnTa}_2\text{O}_6$

Состав	$a$ , Å	$b$ , Å	$c$ , Å	$a/c$	$I_{211}/I_{212}$
$\text{FeNb}_2\text{O}_6$	14,265	5,730	5,050	2,825	0,93
$\text{Fe}_{0,75}\text{Mn}^{0,25}\text{Nb}_2\text{O}_6$	14,305	5,738	5,058	2,828	0,95
$\text{Fe}_{0,5}\text{Mn}_{0,5}\text{Nb}_2\text{O}_6$	14,348	5,745	5,065	2,833	0,93
$\text{Mn}_{0,75}\text{Fe}_{0,25}\text{Nb}_2\text{O}_6$	14,390	5,755	5,075	2,836	0,96
$\text{MnNb}_2\text{O}_6$	14,430	5,762	5,082	2,839	0,95
$\text{MnNb}_{1,5}\text{Ta}_{0,5}\text{O}_6$	14,430	5,762	5,084	2,838	0,70
$\text{MnNb}_{1,0}\text{Ta}_{1,0}\text{O}_6$	14,428	5,760	5,088	2,836	0,52
$\text{MnTa}_{1,5}\text{Nb}_{0,5}\text{O}_6$	14,428	5,761	5,091	2,834	0,42
$\text{MnTa}_2\text{O}_6$	14,425	5,760	5,092	2,833	0,35

П р и м е ч а н и е. Параметры электронной ячейки даны в установке, соответствующей пространственной группе  $D_{2h}^{14} = Pbcn$ , их ошибки составляют  $\pm 0,005$  Å для  $a$  и  $\pm 0,002$  Å для  $b$  и  $c$ . Ошибка в определении  $I_{211}/I_{212}$  равна  $\pm 0,02$ .

Исследования лаборатории рентгеноструктурного анализа и электронной микроскопии нашего института показали, что характер рентгеновских дифракционных картин колумбитов зависит главным образом от двух причин: 1) степени упорядоченности в расположении  $\text{Fe}(\text{Mn})$  и  $\text{Nb}(\text{Ta})$  в структуре минерала и 2) количественных соотношений  $\text{Fe} : \text{Mn} : \text{Nb} : \text{Ta}$ .

Никелем (<sup>4</sup>) было обнаружено, что среди колумбитов, относящихся к пространственной группе  $D_{2h}^{14} = Pbcn$ , встречаются как образцы с упорядоченной структурой, т. е. с атомами  $\text{Fe}(\text{Mn})$  в положениях (c) с кратностью 4 и атомами  $\text{Nb}(\text{Ta})$  в положениях (a) с кратностью 8, так и образцы с неупорядоченной структурой, в которых атомы  $\text{Fe}(\text{Mn})$  и  $\text{Nb}(\text{Ta})$  статистически распределяются по указанным позициям. Отмечены также образцы с частичной неупорядоченностью. Неупорядоченность структуры колумбитов, согласно Никелю (<sup>4</sup>), проявляется на их дифракционных картинах в исчезновении отражений с  $h \neq 3$  и, в частности, отражений 200 и 110, которые являются основными признаками упорядоченных колумбитов. При исследовании различных образцов природных колумбитов нами обнаружено, что неупорядоченность колумбитов отражается не

только в уменьшении интенсивностей пиков с  $h \neq 3$ , но также и в изменении параметров элементарной ячейки: возрастание неупорядоченности ведет к уменьшению параметра  $a$  и увеличению параметра  $c$ , что резко сказывается на отношении параметров  $a/c$ . Если для упорядоченных колумбитов это отношение в зависимости от состава меняется от 2,825 до 2,839 (см. табл. 1), то для полностью неупорядоченных колумбитов  $a'/c = 2,76-2,77$  ( $a' = 3a$ , где  $a$  — истинный параметр). Наличие среди природных колумбитов образцов с самой различной степенью неупорядоченности приводит к тому, что колумбиты одного и того же состава могут иметь существенно различные отношения  $a/c$  и соответственно различные параметры  $a$  и  $c$ , и в то же время колумбиты разного состава, но обладающие неодинаковой степенью неупорядоченности, имеют перекрывающиеся значения параметров  $a$  и  $c$ . Это обстоятельство создает видимость отсутствия определенной связи между составом колумбитов и их рентгеновскими константами.

При изучении синтезированных нами колумбитов различного состава с упорядоченными структурами было обнаружено, что для этих структур, в отличие от неупорядоченных, наблюдается определенная зависимость между рентгеновскими константами и содержанием Fe, Mn, Nb и Ta. При замещении в этих структурах Fe на Mn происходит увеличение параметров  $a$ ,  $b$  и  $c$ , при замещении Nb на Ta параметры электронной ячейки меняются незначительно, но имеет место закономерное изменение соотношений интенсивностей определенных рефлексов (221; 112; 302 и особенно рефлексов 321 и 312 — см. рис. 1).

В табл. 1 приведены рентгеновские константы синтетических соединений ряда  $\text{FeNb}_2\text{O}_6 - \text{MnNb}_2\text{O}_6 - \text{MnTa}_2\text{O}_6$ \*, обладающих полностью упорядоченными колумбитовыми структурами. Приведенные в табл. 1 параметры электронной ячейки определялись по отражениям 600; 911; 930; 020; 041; 002 и 004, полученным на дифрактометре ДРОН-1 на Cu-излучении. Скорость записи 0,5 град/мин. Измерение углов отражений контролировалось по  $\text{NaCl}$ . Интенсивность пиков 321 и 312 определялась путем измерения их высот. Для каждого соединения съемка повторялась три раза, и указанные в табл. 1 соотношения интенсивностей  $I_{321}/I_{312}$  получены как средние из трех измерений. На рис. 2 приведены графики зависимостей  $a=f(\text{Fe}, \text{Mn})$ ,  $b=f(\text{Fe}, \text{Mn})$  и  $c=f(\text{Fe}, \text{Mn})$ , а на рис. 3 — график зависимости  $I_{321}/I_{312}=f(\text{Nb}, \text{Ta})$ , построенные по данным табл. 1.

Исследования имевшихся в нашем распоряжении природных образцов колумбитов разного состава и различной степени неупорядоченности показали, что после прокаливания при  $1000^\circ$  в условиях, исключающих окисление  $\text{Fe}^{2+}$  на  $\text{Fe}^{3+}$ , они становились полностью упорядоченными и подчищались закономерностям, обнаруженным для синтетических соединений (табл. 1 и рис. 2 и 3). При этом незначительные количества содержащихся в образцах изоморфных примесей W, Ti, Y и др. практически не влияли на рентгеновские константы прокаленных образцов, что дает возможность по рентгеновским константам прокаленных колумбитов определять в них количественные соотношения Fe : Mn и Nb : Ta по графикам, изображенными на рис. 2 и 3. Очевидно, для определения соотношения Fe : Mn сле-

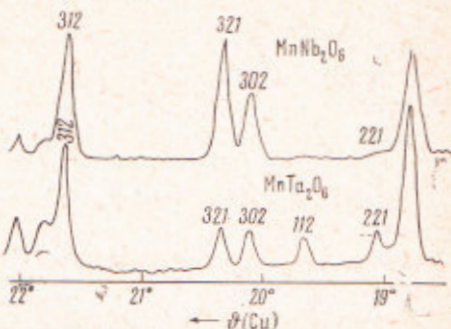


Рис. 1. Участок дифрактограммы  $\text{MnNb}_2\text{O}_6$  и  $\text{MnTa}_2\text{O}_6$  (дифрактометр ДРОН-1, Cu-излучение, скорость записи 0,5 град/мин)

\* Синтез производился при температуре  $1000-1100^\circ$  из смесей эквивалентных количеств соответствующих окислов в непрерывном вакууме около  $10^{-1}$  мм рт. ст.

дует пользоваться зависимостью  $a = f(\text{Fe}, \text{Mn})$ , так как она практически не зависит от соотношения Nb : Ta в образцах и наиболее чувствительна к изменению содержания Fe и Mn.

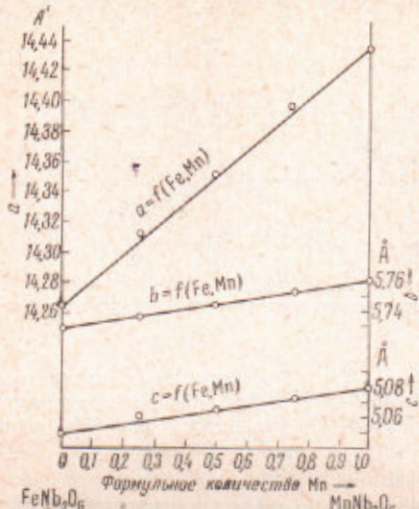


Рис. 2. Зависимость параметров электронной ячейки колумбитов от состава в ряду  $\text{FeNb}_2\text{O}_6 - \text{MnNb}_2\text{O}_6$

Как показывает наш опыт, практически для перевода неупорядоченных колумбитов в упорядоченные достаточно их растереть в порошок и прокалить при  $1000^\circ$  примерно в течение 1 часа. При отсутствии оборудо-

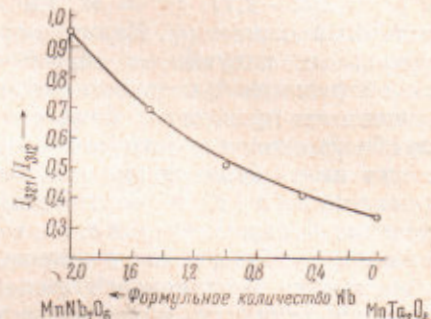


Рис. 3. Изменение соотношения интенсивностей рефлексов 321 и 312 от состава в ряду  $\text{MnNb}_2\text{O}_6 - \text{MnTa}_2\text{O}_6$  (Си-излучение)

дования, обеспечивающего условия, исключающие окисление  $\text{Fe}^{2+}$  до  $\text{Fe}^{3+}$  (вакуум или инертная атмосфера), прокаливание можно осуществлять в закрытой кварцевой пробирке, куда помещается вместе с пробой такое количество древесного угля, которого лишь достаточно для связывания содержащегося в пробирке кислорода воздуха.

Необходимо также отметить следующее. В природе встречаются неупорядоченные колумбиты, в которых в качестве изоморфной примеси существует значительное количество Sn. Как показали наши исследования, в подобных образцах, если они содержат более 1—2%  $\text{SnO}_2$ , после указанного выше прокаливания наряду с упорядоченным колумбитом обнаруживается фаза, соответствующая воджиниту; причем чем больше в образце содержится Sn, Mn и Ta, тем больше образуется воджинитовой фазы. В этом случае состав образовавшейся упорядоченной колумбитовой фазы уже не будет определяться точно соотношениями Fe : Mn и Nb : Ta, имевшимися в исходной природной фазе. Кроме того, известно<sup>(5)</sup>, что при высоких температурах в системе  $\text{FeNb}_2\text{O}_6 - \text{FeTa}_2\text{O}_6 - \text{MnNb}_2\text{O}_6 - \text{MnTa}_2\text{O}_6$  наблюдается лишь определенная область существования однозаданного колумбита. Поэтому для образцов природных колумбитов, состав которых лежит за пределами этой области, после прокаливания возможно образование наряду с колумбитовой фазой также тапиолитовой фазы или даже одной тапиолитовой фазы (для образцов, содержащих преимущественно Ge и Ta). Очевидно, в этом случае состав образовавшейся колумбитовой фазы также не будет определяться составом исходной пробы.

Всесоюзный научно-исследовательский  
геологический институт  
Ленинград

Поступило  
1 X 1969

#### ЦИТИРОВАННАЯ ЛИТЕРАТУРА

- <sup>1</sup> Н. М. Кумскова, Рентгенография минерального сырья, в. 1, 1962.
- <sup>2</sup> J. Lima de Faria, Estudos Ensaios e documentos, № 112, Lisboa, 1964.
- <sup>3</sup> С. А. Горженская, Л. А. Грекулова, Г. А. Сидоренко, Минералогич. сборн., в. 3, № 18, Львов, 1964.
- <sup>4</sup> E. H. Nickel, I. F. Rowland, R. C. Mc Adam, Am. Min., 48, № 9—10 (1963).
- <sup>5</sup> I. Moreau, G. Tramasure, Ann. Soc. Geol. Belg., 88, № 5—6 (1965).